

## ИСПОЛЬЗОВАНИЕ ЧИСЛЕННО-АНАЛИТИЧЕСКОГО МЕТОДА ГРАНИЧНЫХ ЭЛЕМЕНТОВ ДЛЯ ОПРЕДЕЛЕНИЯ НАПРЯЖЕННО-ДЕФОРМИРОВАННОГО СОСТОЯНИЯ ПЛАСТИНЫ.

Карманова М.И., студентка гр. КППС-503м. Научный руководитель – Ковров А.В., профессор

В работе приведены основы методики расчета пластины с применением численно-аналитического метода граничных элементов. Выполнено сравнение результатов, полученных по предполагаемой методике с данными, полученным с использованием ПК SCAD.

Актуальность исследований. В промышленных и гражданских зданиях широко распространены железобетонные конструкции, расчетная схема которых представляет собой пластины. Для учета реальных физических процессов необходимо совершенствование существующих методик, в том числе с использованием численно-аналитического метода граничных элементов (ЧА МГЭ).

Целью работы является разработка методики, для определения прогибов и усилий ЧА МГЭ.

Основное уравнение теории изгиба пластин в упругой стадии [3]

$$\frac{\partial^4 w(x, y)}{\partial x^4} + 2 \frac{\partial^4 w(x, y)}{\partial x^2 \partial y^2} + \frac{\partial^4 w(x, y)}{\partial y^4} = \frac{q(x, y)}{D} \quad (1)$$

В работе [2] задача Коши одномерной модели изгиба прямоугольной пластины определяется по формулам:

$$\begin{aligned} W''''(y) - 2r^2 W''(y) + s^4 W(y) &= q(y)/D; \\ DW(0); D\theta(0) &= DW'(0); M(0) = -DA[W''(0) - \mu r^2 W(0)]; \\ Q(0) &= -DA[W''(0) - (2 - \mu)r^2 W'(0)]. \end{aligned} \quad (2)$$

$$\text{где } r^2 = -B/A; S^4 = C/A; q(y) = \int_0^l q(x, y) X(x) dx / A;$$

$$A = \int_0^l X^2(x) dx; B = \int_0^l X''(x) X(x) dx; C = \int_0^l X'''(x) X(x) dx. \quad (3)$$

Решение уравнения (2) зависит от корней характеристического уравнения, которые представляются выражением

$$k_{1,4} = \pm \sqrt{r^2 \pm \sqrt{r^4 - s^4}}. \quad (4)$$

Вид фундаментальных функций, как следует из (4), определяется соотношением между  $r$  и  $s$ , которое зависит от граничных условий на продольных кромках пластины. Решение задачи Коши (2) можно представить в матричной форме:

$$\begin{pmatrix} DW(y) \\ D\theta(y) \\ M(y) \\ Q(y) \end{pmatrix} = \begin{pmatrix} A_{11} & A_{12} & -A_{13} & -A_{14} \\ A_{21} & A_{22} & -A_{23} & -A_{24} \\ -A_{31} & -A_{32} & A_{33} & A_{34} \\ -A_{41} & -A_{42} & A_{43} & A_{44} \end{pmatrix} \times \begin{pmatrix} DW(0) \\ D\theta(0) \\ M(0) \\ Q(0) \end{pmatrix} +$$

$$+ \int_0^y \begin{pmatrix} A_{14}(y-\xi) \\ A_{24}(y-\xi) \\ -A_{34}(y-\xi) \\ -A_{44}(y-\xi) \end{pmatrix} q(\xi) d\xi$$

Согласно [1] решение уравнения Жермен-Лагранжа по методу Канторовича-Власова будет заключаться в определении функции прогиба, где функция  $X(x)$  задана, а функция  $W(y)$  определяется по формуле:

$$DW(y) = A_{11} \cdot Dw(0) + A_{12} \cdot D\theta(0) - A_{13} \cdot M(0) - A_{14} \cdot Q(0) + \int_0^y A_{14}(y-\xi) q(\xi) d\xi \quad (6)$$

Элементы матрицы  $A(l)$  в случае шарнирного опирания продольных кромок определяются по формулам:

$$\begin{aligned} \varphi_1 &= y \operatorname{ch} ry; \quad \varphi_2 = \operatorname{ch} ry; \quad \varphi_3 = \operatorname{sh} ry; \quad \varphi_4 = y \operatorname{sh} ry; \\ A_{11} &= \varphi_1 - \frac{(1-\mu)r}{2} \varphi_4; \quad A_{12} = \frac{(1-\mu)}{2} \varphi_1 + \frac{(1+\mu)}{2} \varphi_3; \\ A_{31} &= \frac{\varphi_2}{2rA}; \quad A_{34} = \frac{r\varphi_3 - \varphi_4}{2r^3A}; \end{aligned} \quad (7)$$

$$A_{21} = \frac{r(1+\mu)}{2} \varphi_3 - \frac{(1-\mu)r^2}{2} \varphi_1; \quad A_{22} = \varphi_2 + \frac{(1-\mu)r}{2} \varphi_4;$$

$$A_{31} = \frac{1}{2A} \varphi_1 + \frac{1}{2rA} \varphi_3; \quad A_{32} = -\frac{(1-\mu)^2 r^3 A}{2} \varphi_4;$$

$$A_{23} = A \left[ (1-\mu)^2 r^2 \varphi_1 + (1-\mu)(3+\mu)r \varphi_3 \right] / 2;$$

$$A_{33} = A \left[ (1-\mu)^2 r^4 \varphi_1 - (1-\mu)(3+\mu)r^2 \varphi_3 \right] / 2;$$

$$X(x) = \sin \left( \frac{\omega x}{l_1} \right); \quad A = \frac{l_1}{\omega} \left( \frac{\omega}{2} - \frac{1}{4} \sin 2\omega \right);$$

$$B = -\frac{\omega}{l_1} \left( \frac{\omega}{2} - \frac{1}{4} \sin 2\omega \right); \quad C = \left( \frac{\omega}{l_1} \right)^3 \left( \frac{\omega}{2} - \frac{1}{4} \sin 2\omega \right)$$

(8)

$$r^2 = \frac{-B}{A} = \left( \frac{\omega}{l_1} \right)^2; \quad S^4 = \frac{C}{A} = \left( \frac{\omega}{l_1} \right)^4$$

(9)

Элементы матрицы  $B(l)$  в случае шарнирного опирания продольных кромок определяются по формулам:

$$B_{11} = \frac{q}{2r^3 A} \left\{ \left[ r\varphi_1(y-d_n)_n + 2H(y-d_n) - 2\varphi_2(y-d_n)_n \right] \gamma_1(\omega) \Big|_{c_n}^b - \left[ r\varphi_1(y-d_s)_s + 2H(y-d_s) - 2\varphi_2(y-d_s)_s \right] \gamma_1(\omega) \Big|_{c_s}^a \right\};$$

$$B_{21} = \frac{q}{2r^3 A} \left\{ \left[ r\varphi_1(y-d_n)_n - \varphi_3(y-d_n)_n \right] \gamma_1(\omega) \Big|_{c_n}^b - \left[ r\varphi_1(y-d_s)_s - \varphi_3(y-d_s)_s \right] \gamma_1(\omega) \Big|_{c_s}^a \right\};$$

(10)

$$B_{31} = \frac{q}{2r^3} \left\{ \left[ (1-\mu)r\varphi_1(y-d_n)_n + 2\mu\varphi_2(y-d_n)_n - 2\mu H(y-d_n) \right] \gamma_1(\omega) \Big|_{c_n}^b - \left[ (1-\mu)r\varphi_1(y-d_s)_s + 2\mu\varphi_2(y-d_s)_s - 2\mu H(y-d_s) \right] \gamma_1(\omega) \Big|_{c_s}^a \right\};$$

$$B_{41} = \frac{q}{2r} \left\{ \left[ (3-\mu)\varphi_3(y-d_n)_n - (1-\mu)r\varphi_1(y-d_n)_n \right] \gamma_1(\omega) \Big|_{c_n}^b - \left[ (3-\mu)\varphi_3(y-d_s)_s - (1-\mu)r\varphi_1(y-d_s)_s \right] \gamma_1(\omega) \Big|_{c_s}^a \right\};$$

где  $\gamma_q(\omega) = \frac{l_1}{\omega} \left( -\cos \frac{\omega x}{l_1} \right)$ ;

$b = l_1$ .

Рассмотрим прямоугольную пластину шарнирно опертую по контуру, имеющая размеры  $l=2\text{м}$ ,  $l_1=2\text{м}$ , нагруженную равномерно распределенной нагрузкой равной  $1\text{кН/м}^2$ , рис.1

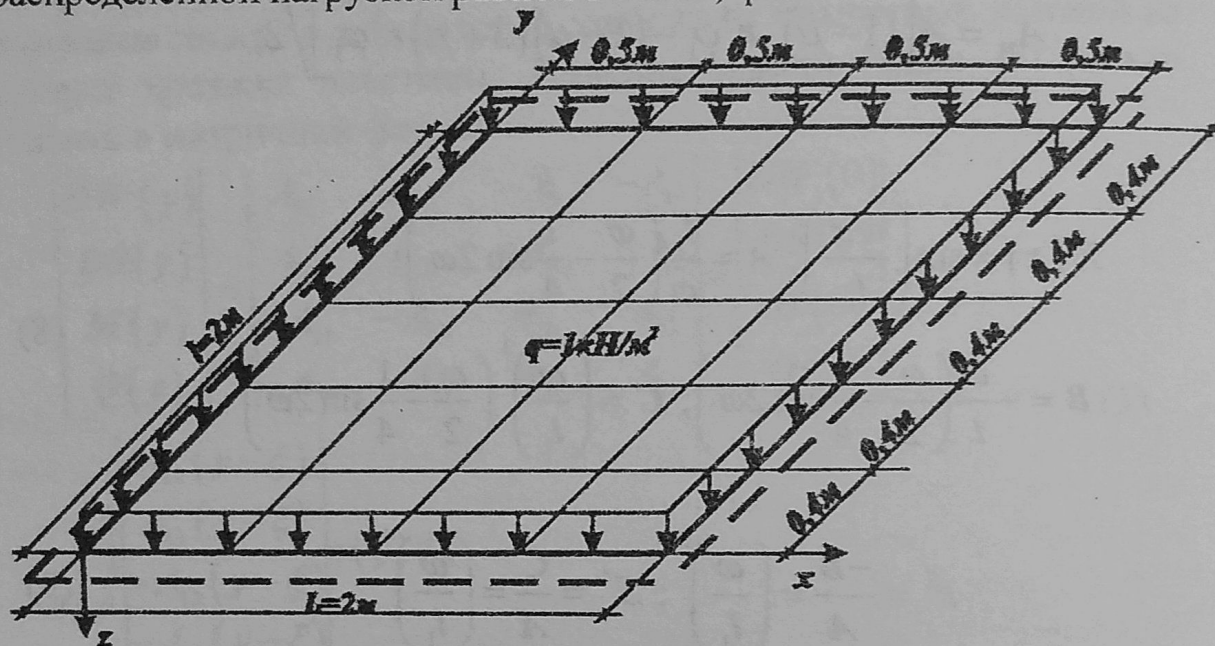


Рис. 1 Расчетная схема пластинки

Конструкция разбивается на полосы шириной  $0,4\text{ м}$ . Прогибы и изгибающие моменты определяются в центре каждой полосы по всей длине.

Расчет пластины выполнен с использованием приведенных уравнений при помощи программы, составленной в системе компьютерной математики MATLAB, с использованием двойных тригонометрических рядов, а также в программно-вычислительном комплексе SCAD.

В таблице 1 произведено сравнение значений прогибов полученных в результате расчетов при помощи двойных тригонометрических рядов с ЧА МГЭ и МКЭ в середине пластины.

Таблица 1

Сравнение значений прогибов и изгибающих моментов.

	С использованием двойных тригонометрических рядов	ЧА МГЭ	$\Delta, \%$	ПК SCAD	$\Delta, \%$
$DW$	0.06502	0.0657	1.05	0.0641851	1.28
$M_y$	0.19293	0.1942	0,66	0,186	3,59

## *Выводы*

1. Разработан алгоритм и программа, определения прогибов и усилий в упругих пластинах.
2. Результаты сравнений с расчетами пластин с использованием двойных тригонометрических рядов свидетельствует о лучшем совпадении по сравнению с ПК SCAD.
3. Требуется дальнейшее развитие методик расчеты железобетонных пластин с учетом трещинообразования, основанных на ЧА МГЭ.

## *Литература*

1. Баженов В.А. Строительная механика. Специальный курс. Применение метода граничных элементов / В.А.Баженов, А.Ф.Дашенко, Л.В.Коломиец, В.Ф.Оробей. – Одесса: Астропринт, 2001. – 288с.
2. Дашенко А.Ф. Численно-аналитический метод граничных элементов / А.Ф.Дашенко, Л.В.Коломиец, В.Ф.Оробей, Н.Г.Сурьянинов. – Одесса: ВМВ, 2010. – Том 2 – 510с.
3. Тимошенко С.П., Войновский-Кригер С. Пластинки и оболочки. – М.: ГИФМЛ, 1963. – 625 с.